

УДК 541.183.12

Деионизация никельсодержащих растворов гальванического производства

А.П. Вергун, Г.С. Тихонов, Л.И. Дорофеева

Томский политехнический университет
E-mail: chair23@phtd.tpu.edu.ru

Представлены результаты экспериментальных исследований по извлечению ионов никеля из растворов никелирования гальванического производства методом электродиализа в смешанном слое ионита. Проведённые исследования показывают эффективное удержание ионов никеля в ионообменной насадке.

Очистка сточных вод промышленных предприятий актуальна в связи с постоянно увеличивающимся загрязнением окружающей среды. Одним из наиболее серьёзных источников загрязнения являются производства различных предприятий, в сбросных водах которых содержатся порядка 13 вредных веществ, в основном тяжёлые металлы.

Для очистки сточных вод гальванических производств используют различные методы или их сочетания: реагентный, сорбционный (физико-химический), физический, электрохимический.

Для более глубокой очистки сбросных растворов перспективны электрохимические методы [1], позволяющие снизить концентрацию ионов металлов в выходных растворах до 0,1...0,2 мг/л. Хорошие результаты показали также исследования по использованию электродиализаторов с межмембранным ионитовым заполнением для очистки сбросных растворов [2–5].

В работе рассмотрено извлечение ионов никеля из растворов никелирования гальванического производства Томского электролампового завода методом электродиализа при заполнении средней камеры трёхкамерного электродиализатора смешанным слоем ионитов КУ-2×8 и АВ-17. В данном случае использовался электродиализатор, принципиальная схема которого приведена на рисунке, с размерами катионитовой (МК-40) и анионитовой мембран (МА-40) 15,5 × 31 см и межмембранным расстоянием 0,9 см. Средняя камера заполнена смесью набухших ионитов: катионита КУ-2×8 в H^+ -форме и анионита АВ-17 в OH^- -форме, в соотношении 1 : 1,4 по весу, соответственно.

Исследования проводились при прикладываемых напряжениях 40...100 В. Предварительно оценивалось время движения ионов никеля под действием постоянного электрического поля:

$$t_{и} = \frac{d_k}{V_{и}} = \frac{d_k \cdot F}{\vartheta_{и} \cdot E} = \frac{d_k \cdot L_{AK} \cdot F}{\vartheta_{и} \cdot U},$$

где d_k – межмембранное расстояние в средней камере; $V_{и}$ – скорость движения ионов; F – число Фарадея; $\vartheta_{и}$ – напряженность постоянного электрического поля; $\vartheta_{и}$ – подвижность иона; U – прикладываемое напряжение; L_{AK} – межэлектродное расстояние.

Время прохождения ионов никеля в вертикальном направлении с потоком

$$t_{и} = \frac{H_k}{V_p},$$

где H_k – высота рабочего пространства средней камеры;

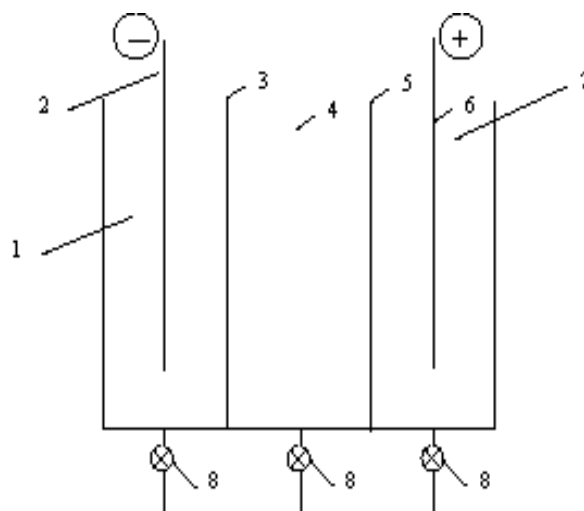


Рисунок. Схема электродиализатора: 1) катодная камера; 2) катод; 3) катионитовая мембрана; 4) средняя (рабочая) камера, заполненная смешанным слоем ионитов; 5) анионитовая мембрана; 6) анод; 7) анодная камера; 8) вентиль

V_p – линейная скорость движения раствора.

Для нормальных условий переноса ионов должно соблюдаться равенство:

$$t_{и} = t_p,$$

когда время переноса ионов в горизонтальном направлении $t_{и}$ равно времени переноса в вертикальном направлении t_p .

Тогда необходимый объёмный расход раствора через среднюю камеру:

$$Q_p = \omega_k \cdot d_k \cdot V_p \cdot f = \frac{\omega_{и} \cdot H_k \cdot \vartheta \cdot U \cdot f}{L_{AK} \cdot F}$$

где ω_k – ширина средней камеры; f – коэффициент пористости, $f=0,4$.

Затем, с учётом указанных оценок и исходных концентраций никеля выбирались рабочие расходы растворов через среднюю камеру, которые составляли 1...8 л/ч. Результаты исследований представлены в таблицах 1, 2 (расход раствора 1,2 л/ч).

Время работы, t мин.	U, В			
	60		100	
	I, А	$\rho, \text{кОм} \cdot \text{см}$	I, А	$\rho, \text{кОм} \cdot \text{см}$
0	0,40	0,96	0,8	0,96
30	0,36	6,55	1,0	18,00
60	0,38	12,60	1,1	27,00
90	0,42	18,00	1,1	30,00

Камера электролизатора	U, В			
	60		100	
	$C_{\text{нн}}, \text{мг/л}$	$\rho, \text{кОм} \cdot \text{см}$	$C_{\text{нн}}, \text{мг/л}$	$\rho, \text{кОм} \cdot \text{см}$
Анодная	0,0025	0,162	0,0975	0,080
Катодная	0,8730	0,304	1,1500	0,430
Средняя	на обнулено	18,000	на обнулено	30,000

Концентрация ионов никеля в растворах определялась в заводской лаборатории фотоколориметрическим методом.

Выводы

Проведённые исследования показали, что при электродиализе в смешанном слое ионитов происходит эффективное удержание ионов никеля в ионообменной насадке с последующим перемещением их в катодную камеру электродиализатора, поскольку поглощаемые катионитом ионы металла перемещаются по зёрнам ионита под действием постоянного электрического поля. Одновременно с этим происходит перенос тех

же ионов по свободному пространству между зёрнами ионита из раствора, проходящего через это пространство в процессе перемещения через слой ионообменной насадки.

Рассмотренный метод деионизации при электродиализе с межмембранной засыпкой камер ионитами не требует затрат на регенерацию, отличается сравнительной простотой аппаратного оформления и даёт возможность использовать его для решения вопросов деионизации никельсодержащих растворов гальванического производства, а также и других проблем, связанных с очисткой сбросных растворов и тонкой очисткой веществ.

СПИСОК ЛИТЕРАТУРЫ

1. Запольский А.К., Образцов В.В. Комплексная переработка сточных вод гальванического производства. – Киев: Техника, 1989. – 199 с.
2. Певницкая М.В., Стариковский Л.Г., Усов В.Ю., Бородихина Л.И. Исследование работы электроионитного аппарата при глубокой деионизации воды и пути оптимизации процесса // Журнал прикладной химии. – 1981. – Т. 54. – № 9. – С. 2077–2081.
3. Певницкая М.В. Электромембранная технология деионизации вод с общим содержанием менее 300 мг/л // Теория и практика сорбционных процессов. – 1989. – № 20. – С. 135–137.
4. Перминова Л.Г., Бородихина Л.И., Певницкая М.В., Белобаба А.Г. Управление технологическим процессом глубокой деионизации воды электроионитным методом // Изв. СО АН СССР. Сер. хим. наук. – 1985. – № 2/1. – С.135–139.
5. Решетникова А.К., Шапошник В.А., Спицина Л.П. Стационарные фронты компонентов при глубоком обессоливании воды электроионированием // Теория и практика сорбционных процессов. – 1981. – № 14. – С. 110–112.

УДК 621.731.3.322-81:621.314.21.3.042, 681.142

ТЕПЛООБМЕН В ПЛАСТИНЕ ПРИ ДЕЙСТВИИ ВНУТРЕННИХ ИСТОЧНИКОВ ТЕПЛА
ПРИ МАЛЫХ ЧИСЛАХ ФУРЬЕ ($Fo < 0,001$)

В.С. Логинов

Томский политехнический университет

E-mail: loginov@ped.tpu.ru

Предложен простой аналитический приближенный способ решения задачи теплопроводности с внутренними источниками теплоты для малых чисел Фурье. Результаты расчетов по аналитической формуле сопоставлялись с численным расчетом температурного поля в обмотке индукционного малогабаритного бетатрона типа МИБ-6-200. При изменении значения тепловыделения, зависящего от времени на несколько порядков в пределах исследуемого промежутка времени имеет место хорошее согласие численного и аналитического расчетов.

В [1] рассмотрен приближенный метод решения уравнения теплопроводности в телах классической формы (пластина, цилиндр, шар) при малых числах Фурье ($Fo < 0,001$) применительно к быстропротекающим процессам тепловой обработки материалов. В настоящей работе этот метод обобщается на случай задания в пластине распределения внутренних источников тепла от времени.

Постановка задачи. Искомое температурное поле в пластине описывается уравнением энергии:

$$\frac{\partial T}{\partial \tau} = a \frac{\partial^2 T}{\partial x^2} + \frac{q_v(\tau)}{\rho c_p}, \quad \tau > 0, \quad 0 < x < \delta, \quad (1)$$

при начальных и граничных условиях:

$$\left. \frac{\partial T}{\partial x} \right|_{x=0} = 0; \quad (2) \quad \text{при } t = 0 \quad T(x, 0) = T_0;$$

$$x = \delta - \lambda \left(\frac{\partial T}{\partial x} \right) = \alpha (T - T_{\text{ж}}) \quad (3)$$

при

Согласно методу, изложенному в [1], выражение для теплового потока при малых временах взаимодействия представляем в виде:

$$q = \rho c_p l \frac{\partial T}{\partial \tau} \quad (5)$$

Для определения линейного параметра l в формуле (5) предлагается выражение

$$l = \sqrt{a \tau} \quad (6)$$

Однако запись выражений (5) и (6) уже предполагает определенные знания об исследуемом процессе. При решении задачи с внутренними источниками теплоты (1–4) будем исходить из общего предположения, заключающегося в том, что определим коэффициент температуропроводности a в уравнении (1), исходя из соображений теории размерностей в виде

$$a = l_0 \frac{\partial x}{\partial \tau} \quad (7)$$

Подставляя (7) в (1), получим

$$\frac{\partial T}{\partial \tau} = l_0 \frac{\partial}{\partial x} \left(\frac{\partial T}{\partial \tau} \right) + p(\tau) \quad (8)$$

где $p(\tau) = q_v(\tau) / (\rho c_p)$

$$u = \frac{\partial T}{\partial \tau}$$

Введем обозначение $u = \frac{\partial T}{\partial \tau}$, тогда уравнение (8) примет вид

$$\frac{\partial u}{\partial x} - \frac{u}{l_0} = -\frac{p(\tau)}{l_0}$$

решение ур. (9) запишется так:

$$u(x, \tau) = \frac{\partial T}{\partial \tau} = C_1 \exp\left(\frac{x}{l_0}\right) + p(\tau).$$

Интегрируя полученное уравнение по τ , будем иметь:

$$T(x, \tau) = C_1 \tau \exp\left(\frac{x}{l_0}\right) + \int p(\tau) d\tau + C_2.$$

Определим, используя краевые условия, значения констант в формуле (11):

$$C_2 = T_0 - \varphi(0), \quad \text{где} \quad \varphi(\tau) = \int p(\tau) d\tau.$$

Определим первую и вторую производные от температуры по пространственной координате:

$$\frac{\partial T}{\partial x} = C_1 \frac{\tau}{l_0} \exp\left(\frac{x}{l_0}\right); \quad \frac{\partial^2 T}{\partial x^2} = C_1 \frac{\tau}{l_0^2} \exp\left(\frac{x}{l_0}\right) \quad (12)$$

Подставим производные (10), (12) в уравнение (1). В результате получим выражение для определения параметра l_0 :

$$l_0 = \sqrt{a \tau}.$$

Как видим, выражение (13) совпадает с принятым ранее выражением (6). Константу интегрирования C_1 определим из граничного условия, после чего обрешение задачи примет вид

$$T(x, \tau) = T_0 + \varphi(\tau) - \varphi(0) - \left[\frac{T_{\infty} - T_0 + \varphi(\tau) - \varphi(0)}{1 + \lambda / (\alpha l_0)} \right] \exp \left[-\frac{\delta}{l_0} \left(1 - \frac{x}{\delta} \right) \right]$$

Определим безразмерные параметры:

$$\text{число Био} - Bi = \frac{\alpha \delta}{\lambda}; \quad \text{число Фурье} - Fo = \frac{a \tau}{\delta^2} \quad (14)$$

С учетом этих параметров формула (14) переходит в зависимость

$$T(x, \tau) = T_0 + \varphi(\tau) - \varphi(0) - \left[\frac{T_{\infty} - T_0 + \varphi(\tau) - \varphi(0)}{1 + 1/(Bi \sqrt{Fo})} \right] \exp \left[-\left(\frac{(1-X)}{\sqrt{Fo}} \right) \right]$$

Здесь $X = x / \delta$.

Тогда плотность теплового потока будет равна

$$q = -\lambda \left(\frac{\partial T}{\partial x} \right) \Big|_{x=\delta} = \frac{\lambda}{\sqrt{a \tau}} \times \left[\frac{T_0 - T_{\infty} + \varphi(\tau) - \varphi(0)}{1 + 1/(Bi \sqrt{Fo})} \right] \exp \left[-\left(\frac{(1-X)}{\sqrt{Fo}} \right) \right]$$

Были выполнены расчеты температурного поля в пластине по формуле (15) при задании различных законов функции внутренних источников теплоты. Результаты расчетов по аналитической формуле сопоставлялись с численным расчетом температурного поля в обмотке индукционного малогабаритного бетатрона типа МИБ-6-200. Пример такого расчета показан на рисунке. Здесь сплошными линиями представлены результаты расчета по формуле (15), а точками – численный расчет, выполненный А.Р. Дороховым по явной схеме [2]. Видно, что при изменении значения функции тепловыделения на несколько порядков в пределах исследуемого промежутка времени имеет место хорошее согласие численного и аналитического расчетов.

Аналогичный результат был получен при задании других функциональных зависимостей для внутренних

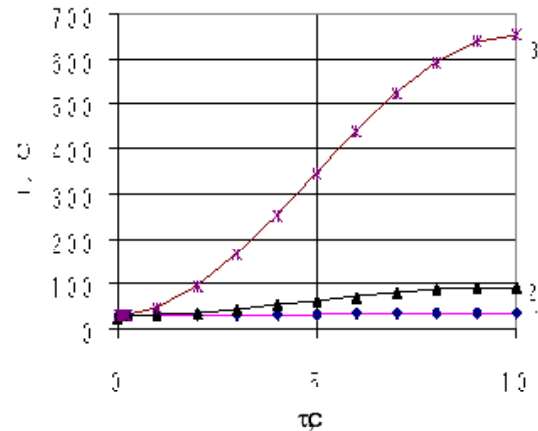


Рис. Зависимость максимальной температуры пластины от времени

$$q_v = 4q_{v0} \left[\frac{\tau}{\tau_0} - \left(\frac{\tau}{\tau_0} \right)^2 \right], \quad \tau_0 = 10 \text{ с};$$

$$\text{ВТМ} \quad q_{v0} = 4,05 \cdot 10^6; 4,05 \cdot 10^7; 4,05 \cdot 10^8 \quad \text{Вт/м}^3$$

$$R_{\text{ж}} = 0,048 = 3,47 \cdot \rho \quad \times$$

$$\times \text{Дж/(м}^3 \text{ К)}; = 1,56 \text{ Вт/(м К)};$$

$$Bi = 0,788; T_{\infty} = 28,4 \text{ }^{\circ}\text{C}; T = 31,2 \text{ }^{\circ}\text{C};$$

линии – расчет по формуле (15), точки – численный расчет по [2]

источников теплоты.

Таким образом, получена простая аналитическая зависимость для расчета температурного поля в пластине при действии в ней внутренних источников теплоты.

СПИСОК ЛИТЕРАТУРЫ

1. Логинов В.С., Дорохов А.Р., Репкина Н.Ю. Приближенный метод расчета нестационарного температурного поля при малых числах Фурье // Письма в ЖТФ. – 1997. – Т. 23, вып. 1. – С. 22–25.
2. Пасконов В.М., Полежаев В.И., Чудов Л.А. Численное моделирование тепло- и массообмена. – М.: Наука, 1984. – 288 с.